

## کنترل جریان هوا در لایه مرزی با استفاده از محرک تخلیه سد دیالکتریک

جعفری، محمد جواد<sup>۱</sup>، صفری، مینا<sup>۲</sup>، احمدی زاده، یدالله<sup>۳</sup> و شکری، بابک<sup>۴</sup>

۱- دانشگاه شهید بهشتی، دانشکده بهداشت

۲- دانشگاه شهید بهشتی، پژوهشکده لیزر و پلاسمای

۳- دانشگاه هوایی شهید ستاری، دانشکده علوم پایه

۴- دانشگاه شهید بهشتی، گروه فیزیک و پژوهشکده لیزر و پلاسمای

(دریافت مقاله: ۱۳۸۸/۸/۳۱ تاریخ پذیرش: ۱۳۸۹/۲/۱۶)

### چکیده

محرك‌های پلاسمایی آبیودینامیک، قابلیت خود را به عنوان یک ابزار کنترل جریان در کاربردهای متفاوت، نشان داده است. مطالعه حاضر نتایج یک طرح ابتکاری را ارائه می‌دهد که در آن از یک منبع تغذیه برای تولید جریان ولتاژ بالا (بیش از ۸ کیلو ولت) و در بسامد بالا (بیش از ۱۰ کیلوهورتز) استفاده شد. سپس این جریان برای یونیزه کردن هوا راک در فشار اتمسفری در سطح یک قطعه محرك پلاسمایی به کار برد شد. پیکربندی محرك پلاسمایی مورد استفاده در این مطالعه بسیار ساده و شامل دو الکترود بود که به طور نامتقارن چیده شدند. یکی از الکترودها در معرض هوا می‌حیط و دیگری در طرف دیگر ماده دیالکتریک قرار گرفت. وقتی یک ولتاژ متناسب بالا اعمال می‌شد، تخلیه پلاسمایی روی سطح عالی، بالای الکترود عالی شده ظاهر می‌گردید و تکانه هدایت شده به درون هوا می‌حیط چفت می‌شد. مقدار جفت شدگی تکانه در تغییر اساسی جریان هوا روی سطح محرك مؤثر بود. جفت شدگی تکانه یک جریان هوا می‌کرد که روی دو طرف لایه دیالکتریک کشیده می‌شد. این جفت شدگی، سرعت هوا را در لایه مرزی از مقدار صفر افزایش می‌داد و باعث اصلاح جریان هوا در لایه مرزی می‌گردید. در این مطالعه سرعت جریان القابی در غیاب جریان هوا اندازه گیری شد. این سرعت القابی را می‌توان به وسیله لوله پیتوت اندازه گرفت. در این پژوهش اثر بسامد و جنس ماده دیالکتریک بر میزان افزایش سرعت القابی بررسی شد. نتایج نشان داد که در یک بسامد بهینه (در این مطالعه فرکانس ۷/۵ کیلوهورتز) سرعت جریان القابی به حداقل مقدار خود می‌رسد. نتایج همچنین نشان داد که سرعت القابی در ارتفاع ۵/۰ میلی‌متری بالای دیالکتریک پلکنسی گلاس به ۵ متر بر ثانیه و در تلفون نزدیک به ۶ متر بر ثانیه می‌رسد. بنابراین ثابت دیالکتریک در میزان سرعت القابی نقش قابل توجهی ایفا می‌کند. وزن کم، کوچک بودن اندازه، عدم نیاز به اجزای متحرک، قابلیت اطمینان بالا، پایین بودن قیمت، پهنای باند بالا، پاسخ سریع و افزایش چالاکی آبودینامیکی جزو مزایای عمدۀ قطعه کنترل جریان محرك پلاسمای نسبت به قطعات کنترل جریان سنتی است.

**کلمات کلیدی:** کنترل جریان الکتروهیدرودینامیکی، تخلیه سد دیالکتریک سطحی، محرك پلاسمایی، جریان هوا می‌القابی

که از رویش عبور می‌کند ترک کند، جدایی لایه مرزی اتفاق می‌افتد. یکی از علل عده‌جه دادیش لایه مرزی وجود گرادیان فشار معکوس است. زمانی که تکانه سیال در لایه مرزی به نقطه صفر کاهش می‌یابد آن وقت لایه مرزی از سطح جدا می‌شود. این پدیده عمده نامطلوب بوده و باعث تلفات انرژی، کاهش برآ و پایین آمدن کارایی سامانه می‌شود که می‌تواند منجر به واماندگی مقاطع

### مقدمه

هنگام عبور یک شیء از میان یک سیال و یا سیال از روی یک جسم، در اثر نیروهای گرانرو<sup>۱</sup> در نزدیک سطح جسم، لایه نازکی از سیال (لایه مرزی) تشکیل می‌شود که سرعت آن از صفر تا مقدار آن در جریان آزاد سیال تغییر می‌کند. با توجه به مقدار عدد رینولدز، لایه مرزی می‌تواند خطی یا آشفته باشد. زمانی که لایه نازکی از سیال سطح جسمی را

۱- دانشیار

۲- کارشناس ارشد

۳- عضو هیئت علمی- دانشور

۴- استاد و نویسنده پاسخگو، تلفن ۰۲۱-۲۲۴۳۱۷۷۳، فکس: ۰۲۱-۲۲۴۳۱۷۷۵ پست الکترونیک B-shokri@sbu.ac.ir

قطعات شامل دو الکترود است که توسط یک ماده دیالکتریک از هم جدا می‌شوند. معمولاً یکی از الکتروودها در معرض هوا قرار گرفته و الکتروود دیگر با ماده دیالکتریک کاملاً پوشانده می‌شود. زمانی که یک ولتاژ بالای AC به الکتروود روباز اعمال می‌شود هوای روی محرک یونیزه شده و «پلاسمما» روی ناحیه الکتروودی که با دیالکتریک پوشانده شده تشکیل می‌شود. مزایای این قطعات عبارت است از الکترونیکی بودن آنها بدون داشتن اجزای متحرک، توانایی پاسخ بسیار سریع، جرم بسیار کم، توان ورودی کم و توانایی شبیه‌سازی آسان اثر آن‌ها در حل کننده‌های عددی جریان [۴].

یکی از اجزای مهم محرک‌ها، دیالکتریک بکار رفته در آنهاست که دچار تلفات می‌شود [۵]. تلفات دیالکتریک را با انتخاب درست ماده دیالکتریک می‌توان حداقل کرد. هرچه ثابت دیالکتریک بیشتر باشد، انرژی الکتروستاتیکی که می‌تواند در واحد حجم ذخیره شود بیشتر است و گرمایشی که وقتی میدان‌های الکتریکی RF بر عکس می‌شوند می‌تواند رخ دهد بزرگ‌تر است. مقادیر زیاد شدت شکست دیالکتریک نسبی مواد برحسب کیلوولت بر میلی‌متر، نشان می‌دهد که سدهای دیالکتریک سبک و نازک، نسبت به دیالکتریک‌های حجیم و ضخیم‌تر کم اتلاف بوده و گرمایی کمتری تولید می‌کنند [۳]. تاکنون مشخص نشده که این تلفات توان دیالکتریکی، در محرک‌های پلاسمایی در حد توان ورودی به پلاسماست یا از آن بیشتر است.

چگالی انرژی الکتروستاتیک انتگرال‌گیری شده روی زمان و فضا در یک دیالکتریک با رابطه  $\propto$  داده شده است [۶]:

$$W = \frac{1}{T} \int_0^T \int \frac{1}{2} \epsilon_r \epsilon_0 E^2(x, y, z, t) dx dy dz dt \quad (1)$$

رابطه کلی توصیف کننده توان دیالکتریک در یک میدان الکتریکی HV مطابق رابطه ۲ است:

$$P = U^2_{rms} \frac{2\pi f A}{S} \epsilon_r \epsilon_0 \operatorname{tg} \delta \quad (2)$$

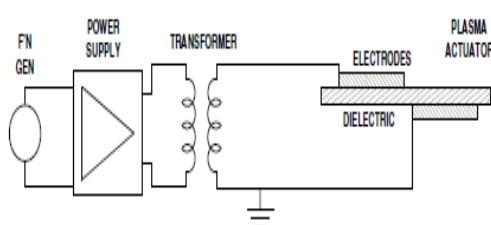
آبرودینامیکی<sup>۴</sup> شود. بدین ترتیب راهبردهای کنترل جریان بر تصحیح مکان جدایش لایه مرزی و کاهش اثرات تولید شده توسط این پدیده تمرکز دارد [۱]. بیشتر تلاش‌ها و تحقیقات در طراحی سطوح آبرودینامیکی و هیدرودینامیکی بر این نکته تمرکز دارد که جدایی جریان را به تعویق انداخته و جریان موضعی را تا حد ممکن پیوسته نگه دارد. این روش‌ها که در زمینه اداره و کنترل جریان‌های سیال در موقعیتی با خواص مطلوب، فعالیت می‌کند و کاربرد دارد کنترل جریان اطلاق می‌شود و عمدهاً به دو نوع کنترل غیرفعال جریان و کنترل فعال جریان تقسیم بندی می‌شود [۲].

کنترل‌های غیرفعال جریان مانند نوارهای لایه مرزی، عناصر ناهمواری، شیپورهای<sup>۵</sup> افشاگر<sup>۶</sup> و اغتشاشات سطحی به انرژی خارجی نیاز ندارد، در حالی که کنترل فعال جریان همچون تحریک آکوستیکی، مکش و وزش<sup>۷</sup> پالسی یا پیوسته، حرکت سطحی و محرک‌ها به انرژی خارجی نیاز دارد. مزیت کنترل‌های فعال جریان قبل از کنترل بودن آن‌ها است که می‌تواند در موقع لزوم خاموش و روشن شود. در سال‌های اخیر، کنترل فعال جریان مورد علاقه پژوهشگران بسیاری بوده است. هدف اصلی استفاده از محرک‌ها در جریان حول مقاطع آبرودینامیکی، به تعویق انداختن و اماندگی با استفاده از تحریکات ثابت<sup>۸</sup> یا تحریکات متغیر<sup>۹</sup> است [۲].

در تحریکات ثابت، هدف، اعمال تکانه اضافی به سیال عقب مانده درون لایه مرزی و درنتیجه تأخیر در جدایش جریان است. و در تحریکات متغیر، یا به عبارتی تحریک دینامیکی، تکانه تناوبی به لایه‌های سیال در نزدیکی سطح ایرفویل افزوده می‌شود [۲].

محرك‌های پلاسمایی با اضافه کردن تکانه به جای جرم به جریان هوای لایه مرزی، جریان هوای را تصحیح می‌کنند. اساس کنترل جریان الکتروهیدرودینامیکی<sup>۱۰</sup> (EHD)، شارش توان از منبع تغذیه رادیویی<sup>۱۱</sup> (RF) به میدان الکتریکی RF سپس یون‌های پلاسمما و نهایتاً به گاز خنثای زمینه، از طریق برخوردهای لورنتسی است [۳]. قطعات کنترل جریان تخلیه سد دیالکتریک<sup>۱۲</sup> (DBD) که با عنوان «محرك‌های پلاسمایی» شناخته می‌شوند در ده سال گذشته به خاطر قابلیت‌ها و توانایی بالقوه‌شان در زمینه کنترل فعال جریان به شدت مورد استفاده قرار گرفته‌اند. این

صوتی و یک باتری DC است. طرح مدار منبع تغذیه در شکل ۱ نشان داده شده است. این مجموعه قادر است ولتاژی بالغ بر  $8 \text{ kV}$  را با بسامدی تا چند ده کیلوهرتز به سیستم تحویل دهد. علاوه بر هزینه پایین این سامانه، حمل و نقل آسان، نگهداری و رفع عیب، جایگزین کردن ساده اجزاء آن و پارامترهای کارکردی قابل قبول آن از مزیت‌های عمدۀ این دستگاه است.



شکل ۱- طرح مدار منبع تغذیه

## ۲- تقویت کننده‌های صوتی

تقویت کننده‌های صوتی  $300 \text{ WAT}$  برای تقویت ولتاژ ورودی از یک مولد سیگنال که در اینجا یک فانکشن ژنراتور است و می‌تواند سه شکل موج در بسامد  $1 \text{ Hz}$  تا  $1 \text{ MHz}$  تولید کند، به کار می‌رود. این تقویت کننده مدل Sierra PLUS 502 است و یک خروجی دو کاناله دارد که از هر کanal می‌توان یک سیم پیچ را تغذیه کرد. مدار مدوله‌سازی پهنای پالس (PWM) که برای حداقل کردن تلفات الکتریکی درون هر تقویت کننده استفاده شده با کاهش قابل ملاحظه مصرف توان، آنها را از نظر زیست محیطی سودمند می‌سازد.

## ۳- سیم‌پیچ‌های احتراق خودرو

سیم‌پیچ‌های احتراق خودرو نیز به همانند مبدل‌های ولتاژ بالا برای تقویت خروجی ولتاژ از تقویت کننده‌های صوتی به کار گرفته می‌شوند. شکل موج ولتاژ خروجی به وسیله یک حسگر که به دستگاه نوسان نگار وصل شده اندازه گیری می‌شود.

## ۴- باتری DC

در این آزمایش از باتری  $12 \text{ V}$  ولتی DC که در اتومبیل‌ها به کار می‌رود برای روشن کردن تقویت کننده صوتی استفاده شد. این باتری‌ها با میزان آمپرساعتی که می‌توانند

در رابطه  $2$ ،  $A$  مساحت الکترود بر حسب مترمربع،  $S$  ضخامت الکترود بر حسب متر،  $f$  بسامد بر حسب هرتز،  $P$  توان تلف شده دی‌الکتریک بر حسب وات،  $(\delta)$  ضریب اتلاف ماده دی‌الکتریک،  $U_{rms}$  ولتاژ ریشه میانگین مربع دوسر دی‌الکتریک بر حسب ولت و  $\epsilon_r, \epsilon_0$  به ترتیب نفوذپذیری فضای آزاد و نسبی ماده دی‌الکتریک بر حسب فاراد بر متر است [۶].

از آنجا که  $E = \frac{U}{S}$ ، که در آن  $E$  میدان الکتریکی بر حسب ولت بر متر است، برای توان تلف شده در دی‌الکتریک رابطه  $3$  را داریم:

$$P_V = 2\pi f \epsilon_r \epsilon_0 \operatorname{tg} \delta E^2 \quad (\text{Wm}^{-3}) \quad (3)$$

طبق رابطه  $3$  اتلاف توان با بسامد متناسب است که در حالت کلی می‌توان رابطه  $4$  را نوشت:

$$P_V = B \times f \times V^2 \quad (\text{Wm}^{-3}) \quad (4)$$

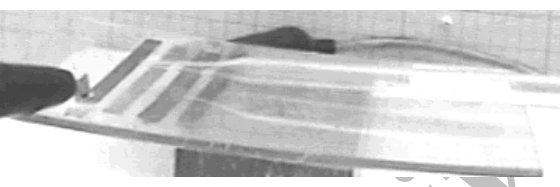
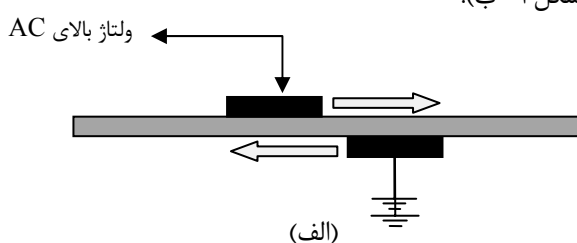
که در رابطه  $4$ ،  $B$  ثابت تناسب است.

## وسایل مورد نیاز برای آزمایش

### ۱- منبع تغذیه

به خاطر وجود یک سد دی‌الکتریک بین الکترودها، اعمال ولتاژ بالای AC به آنها الزامی است. بنابراین مهمترین مرحله تولید پلاسمای منبع تغذیه است که باید به گونه‌ای طراحی شود تا قابلیت تولید ولتاژ بیش از  $1/5 \text{ kV}$  در بسامدهای بالاتر از یک کیلو هرتز را داشته باشد. یکی از روش‌های تولید چنین سیگنالی استفاده از پاورترون‌های گران‌قیمتی است که به ترانسفورمرهای سنگینی متصل می‌شوند و باید آن‌ها را در رونگ نگهداری کرد. به علت بالابودن هزینه این منابع تغذیه، تصمیم به تولید یک مدل ساده‌تر و ارزانتر گرفته شد. منبع تغذیه‌ای که برای ایجاد تخلیه پلاسمای سد دی‌الکتریک در این کار استفاده شده است با استفاده از طرح پیشنهادی در پایان نامه یاداف<sup>۱۳</sup> [۷] برای اولین بار در آزمایشگاه پلاسمای پژوهشکده لیزر و پلاسمای طراحی و ساخته شد. اجزای عمدۀ این منبع شامل سه مجموعه سیم‌پیچ احتراق خودرو، تقویت کننده‌های

در شکل (۳-الف) ملاحظه می‌شود قطعه محرک پلاسمای تخلیه سد دی‌الکتریک (DBD) یک پیکربندی نامتقارن دارد. این محرک شامل دو الکترود تخت است که روی دو طرف یک صفحه دی‌الکتریک به‌طور هم‌سطح چسبانده شده‌است. یکی از الکتروودها توسط یک ولتاژ بالای AC (شکل موج سینوسی) تحریک شده و الکترود دیگر اتصال زمین می‌شود. کمی بالاتر از آستانه ولتاژ اشتعال، یک ورقه پلاسما روی دو طرف دی‌الکتریک ظاهر می‌شود، وجود ذرات باردار در پلاسما و برخوردهای آنها با مولکول‌های هوا، باعث انتقال تکانه به مولکول‌های هوا شده در نتیجه یک باد الکتریکی روی هر دو سمت دی‌الکتریک تولید می‌شود (شکل ۳-ب).



شکل ۳- (الف) قطعه محرک پلاسمای دی‌الکتریک؛ نمای طرح از جهت باد الکتریکی القابی، (ب) تصویر از پلاسمای تولید شده توسط DBD روی یک ورقه پلی کربنات

**روش اندازه‌گیری سرعت جریان القابی**  
برای بررسی عملکرد محرک باید سرعت باد الکتریکی تولید شده توسط پلاسما را اندازه‌گیری کرد. برای مطالعه پارامتری روی محرک، اندازه‌گیری سرعت جریان القابی در قسمت بالای سر محرک انجام می‌شود. در ابتدا برای انجام این نوع اندازه‌گیری‌ها با استفاده از یک حسگر فشار کل ساخته شده از شیشه که به یک میکروفشارسنج<sup>۱۴</sup> نوع کوفرپروفساتر وصل است، اختلاف فشار ایجاد شده روی سطح اندازه‌گیری می‌شود. این سامانه اندازه‌گیری شبیه به سامانه لوله پیتوت<sup>۱۵</sup> است اما چون لوله پیتوت فلزی است و در صورت نزدیک شدن به تخلیه پلاسما امکان جرقه زدن وجود دارد بهجای آن یک لوله مویین شیشه‌ای به کار

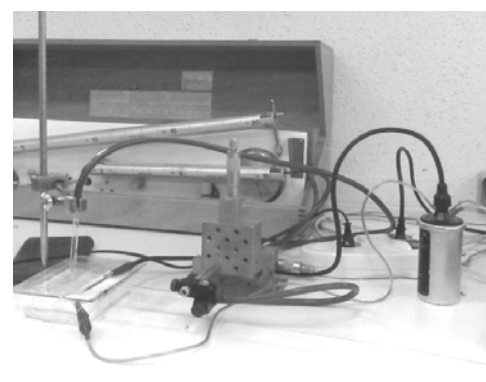
تحویل دهنده، مشخص می‌شوند که به معنی بار تخلیه اندازه گیری شده بر حسب آمپر است. این میزان برای باتری مورد استفاده در اینجا ۶۵ آمپر ساعت است. چون ممکن است بعد از مدتی کارکردن، باتری تخلیه شود بنابراین، برای باردار کردن باتری از یک دستگاه بارگذار استفاده می‌شود.

### چیدمان آزمایش

نحوه اتصال اجزاء منبع تغذیه در شکل ۲ (الف و ب) نشان داده شده است. منبع تغذیه شامل سه قسمت است: قسمت اول فانکشن ژنراتور و باتری DC. قسمت دوم تقویت کننده صوتی و قسمت سوم سیم‌پیچ مبدل احتراق خودرو. در ابتدا یک سیگنال از فانکشن ژنراتور به تقویت کننده صوتی که با یک باتری ۱۲ ولتی DC روش می‌شود، فرستاده می‌شود. چون تقویت کننده دو کانال دارد از هر کانال آن می‌توان یک سیم‌پیچ را تغذیه کرد ولی در اینجا به علت استفاده از یک سیم‌پیچ از حالت پل تقویت کننده استفاده کردیم و در نهایت، سیم‌پیچ مبدل خودرو یک سیگنال ولتاژ بالا تولید می‌کند که ولتاژ RF لازم برای محرک‌ها را روی صفحه پلاسما به وجود آورد.



(الف)



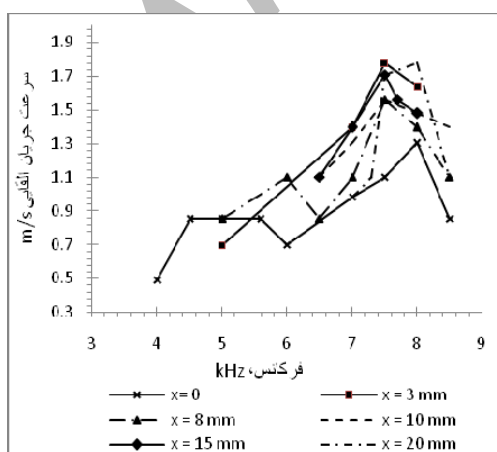
(ب)

شکل ۲- نحوه اتصال اجزاء منبع تغذیه

حال دود، پشت سر الکترود فعال قرار داده شد و مشاهده گردید که دود بهشدت پراکنده و بهسته جلو و کمی به سمت پایین کشیده می‌شود. این بار هویه مولد دود جلوی محرك قرار داده شد (البته با فاصله چون با نزدیک شدن به تخلیه امکان جرقه زدن وجود داشت) و اثری از دود دیده نشد زیرا دود در جهت باد قرار گرفته و پراکنده و محو شده بود. در نتیجه همان‌طور که از شبیه‌سازی‌های صورت گرفته انتظار می‌رفت جریان القایی از طرف الکترود فعال به الکترود زیرین است. در ادامه به بررسی اثر عوامل مختلف و نتایج حاصل از تغییرات آنها بر داده‌های آزمایش می‌پردازیم.

#### ۱- بررسی اثر بسامد

برای بررسی اثر بسامد تحریک روی مقدار سرعت جریان القایی از یک صفحه پلی‌کربنات به ضخامت  $2\text{ mm}$  به جای دی‌الکتریک و ورق‌های مسی به پهنای  $5\text{ mm}$  با ضخامت  $1\text{ mm}$  به جای الکتروودها و شکاف  $3\text{ mm}$  بین الکترود فعال و الکترود اتصال زمین استفاده شد. شکل موج ولتاژ اعمالی AC سینوسی بوده و با صرف‌نظر از افت و خیزهای آن می‌توان آن را تقریباً ثابت فرض کرد. در این رشته آزمایش‌ها تمام پارامترها به جز بسامد ثابت بود و اندازه‌گیری‌های سرعت با استفاده از لوله پیوت در فواصل مختلف (X) از لبه الکترود فعال و در ارتفاعات (Y) مختلف بالای سر محرك انجام شد و اطلاعات مربوط به فشار و از طریق آن سرعت جریان بدست آمد.



نمودار ۱- اثر بسامد تحریک روی سرعت جریان القایی در ارتفاع  $\text{mm}$  ابه ازای  $\text{x}$  های مختلف از لبه الکترود

می‌رود که توسط یک لوله لاستیکی به میکروفشارسنج وصل شده است. لوله شیشه‌ای مستقیماً در جهت مقابل جریان قرار می‌گیرد و فشار کل (TP) سامانه را بر حسب اینچ آب می‌دهد. برای بهدست آوردن فشار سرعت، اندازه گیری فشار ایستایی (SP) سامانه الزامی است. این فشار در جهت عمود بر جریان بهدست می‌آید بدین منظور فشار ایستایی را به وسیله لوله شیشه‌ای دیگری که در جهت عمود بر صفحه قرار گرفته و به سر دیگر میکروفشارسنج وصل است می‌خوانیم. بنابراین مقداری که میکروفشارسنج نشان می‌دهد اختلاف فشار کل و ایستایی و برابر با فشار سرعت است. به کمک دستگاه XYZ می‌توان حسگر را به دقت در راستای سه محور روی محرك به طور دستی حرکت داد. پروفیل‌های عمودی در مقادیر مختلف X در لبه الکترود فعال اندازه‌گیری می‌شوند. حسگر را می‌توان با دقیق  $0.01\text{ mm}$  در راستای سه محور بالای سر محرك حرکت داد و پروفیل سرعت جریان القایی را بهدست آورده با گذاشتن مقدار سرعت فشار در رابطه  $5\text{ fpm}$  سرعت جریان بر حسب  $\text{fpm}$  (فوت بر دقیقه) بدست می‌آید [۸].

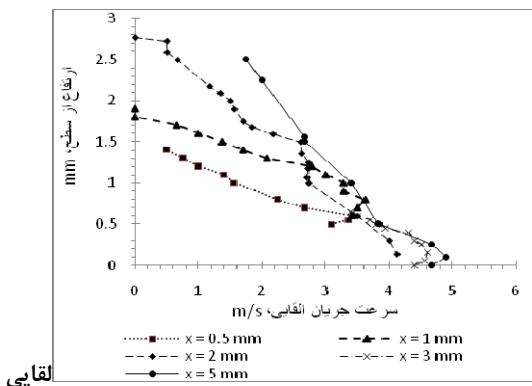
$$V_p = \rho_a \left( \frac{V}{1096} \right)^2 \quad (5)$$

در رابطه ۵،  $\rho_a$  چگالی واقعی گاز بر حسب (پوند جرم بر فوت مکعب) و در شرایط محل آزمایش  $0.0638\text{ lbm}/\text{ft}^3$  است. با ضرب مقدار نهایی سرعت جریان القایی بهدست آمده از این رابطه در ضربی  $0.0051\text{ m/s}$  مقدار سرعت بر حسب متر بر ثانیه بهدست آمد و نمودارهای ارتفاع از سطح بر حسب سرعت رسم شد.

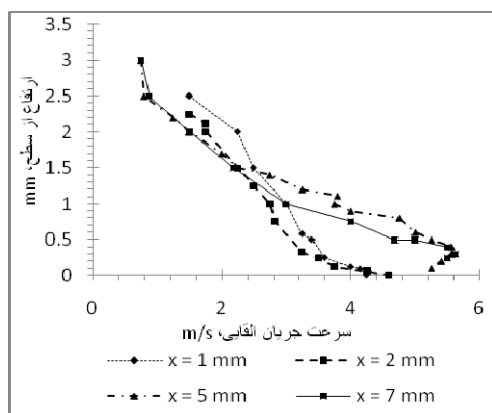
#### اندازه‌گیری‌ها و ارائه داده‌ها

در ابتدا برای مطمئن شدن از وجود جریان هوای ثانویه و پیدا کردن جهت این جریان یک آزمایش دود ترتیب داده شد تا آشکارسازی جهت جریان انجام شود. با استفاده از یک هویه داغ که به سرش مقداری یونولیت چسبانده شده بود دود تولید شد. ابتدا در غیاب پلاسمای اثربخش شد تا زمانی که به حالت تعادل برسد، در این حالت همان‌طور که انتظار می‌رفت یک حرکت یکنواخت و به سمت بالا وجود داشت. سپس محرك روشن و هویه در

از لبه الکترود فعال در ارتفاعات مختلفی از سطح محرك اندازه‌گيري شد. شرایط جوي آزمایشگاه حین اجرای آزمایش‌ها عبارت بود از درجه حرارت ۲۸/۷ درجه سانتي‌گراد، رطوبت نسبتي ۳۴/۳ درصد و فشار مطلق ۸۳۶ ميلى بار.

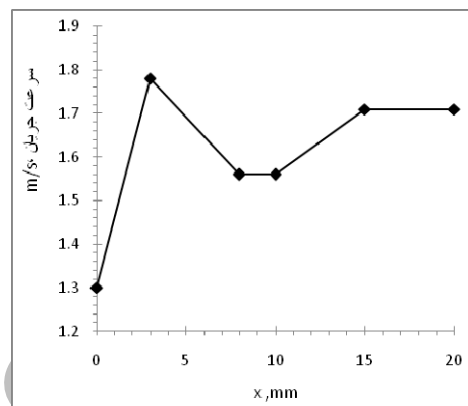


نمودار ۴- نمودار سرعت جريان برای ماده دی الکتریک پلکسی گلاس (PMMA)

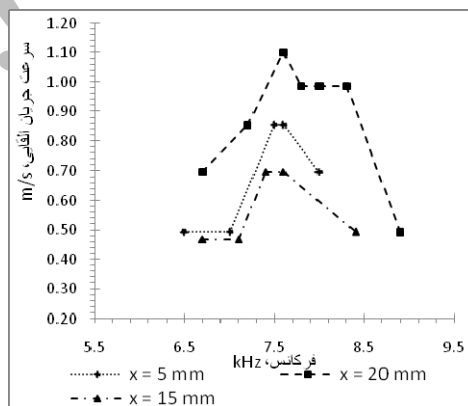


نمودار ۵- نمودار سرعت جريان القابی برای ماده دی الکتریک تفلون (PTFE)

**۲- بررسی اثر ماده دی الکتریک**  
در این قسمت برای بررسی اثر جنس ماده دی الکتریک روی میزان سرعت جريان القابی دو نوع ماده دی الکتریک، پلکسی گلاس (PMMA) و تفلون (PTFE) با ضخامت‌های یکسان (۲ میلی‌متر) به کار برده شده است.



نمودار ۲- تغییرات سرعت جريان نسبت به مکان از لبه الکترود فعال به ازای بسامد بهینه ۷/۵ KHz



نمودار ۳- اثر بسامد تحریک روی سرعت جريان القابی در Y=2mm به ازای X های مختلف

با چیدمان یک پیکربندی ثابت از الکتروودها روی صفحات دی الکتریک و اعمال ولتاژ و بسامد ثابت، اندازه گیری‌های سرعت جريان انجام شد. در این حالت پهنه‌ی الکترود فعال ۵ mm، پهنه‌ی الکترود اتصال زمین ۱ cm و شکاف بین الکترود فعال و زمین ۲ mm انتخاب شد و طبق نتایج بهدست آمده از اثر بسامد، بسامد روی ۸/۳ kV و ولتاژ در حدود ۷ kV ثابت نگه داشته شد. هدف از اجرای آزمایش در این قسمت بهدست آوردن نمودارهای سرعت جريان القابی بالای سر محرك پلاسمایی بود. بدین منظور سرعت بهتری به ازای ولتاژهای بالاتر يك افزایش بسامد زياد می شود. اما به ازای ولتاژهای بالاتر يك

### بحث و تحليل داده‌ها

در اين مقاله رفتار سرعت جريان القابی نسبت به تغيير بسامد بررسی شده. داده‌های تجربی مربوطه بهصورت نمودارهای ۱ تا ۳ قابل مشاهده است. در اين نمودارها ديده می‌شود که با افزایش بسامد، سرعت جريان القابی افزایش يافته و به يك بيسينه رسيده و با افزایش بيشرتر بسامد کاهش می‌يابد. در مقایسه اين داده‌ها با جواب‌های بهدست آمده در مرجع [۶] نتيجه می‌گيريم که در ولتاژهای كمتر از ۵ kV، سرعت، تابع يکنواختی از بسامد است و با افزایش بسامد زياد می شود. اما به ازای ولتاژهای بالاتر يك

مرجع [۱۱] حداکثر سرعت جریان در ارتفاع حدود  $0/5\text{ mm}$  از سطح اما با پیکربندی متفاوت اندازه‌گیری شده است. تفاوت نتایج به دست آمده در پروفایل‌های سرعت نمودار ۴ و ۵ با نمودارهای سرعت به دست آمده در [۱۱] این است که در آن مورد حداکثر سرعت جریان القایی به ازای ولتاژهایی در حدود  $20\text{ kV}$  رخ می‌دهد. علت نیاز به چنین ولتاژ بالایی را شاید بتوان به شرایط اولیه ربط داد، به این صورت که در شرایط کاری [۱۰] بسامد از  $300\text{ T}$  تا  $700\text{ T}$  هرتز است ولی بسامد آزمایش‌ها انجام شده در این مطالعه در حد  $8\text{ کیلوهertz}$  است. بنابراین می‌توان نتیجه گرفت با افزایش بسامد، ولتاژهای کاری را می‌توان کاهش داد. یکی دیگر از تفاوت‌ها میزان حداکثر سرعت جریان القایی است که در مورد مرجع [۱۰] نزدیک به  $3/5\text{ m/s}$  است ولی در نمودارهای سرعت به دست آمده در این مطالعه به  $6\text{ m/s}$  رسیده است. این را می‌توان به ضخامت ماده دیالکتریک مورد استفاده مربوط دانست که ضخامت ماده دیالکتریک مورد استفاده در مرجع [۱۰] حدود  $4\text{ میلیمتر}$  است و بیشتر از ضخامت ماده دیالکتریک مورد استفاده در آزمایش‌های انجام شده در اینجاست. بنابراین می‌توان نتیجه گرفت که با افزایش ضخامت دیالکتریک نیاز به ولتاژ اعمالی بیشتری وجود خواهد داشت تا به سرعت جریان القایی بالاتری دست یابیم.

نتایج مطالعه حاضر نشان داد که به ازای توان‌های ورودی برابر، حداکثر سرعت هوای القایی در دیالکتریک تفلون (PTFE) بیش از پلکسی‌گلاس (PMMA) می‌باشد. با توجه به اینکه شرایط آزمایش و طرح هندسی هر دو دیالکتریک مشابه بوده است لذا از مقایسه و حل معادله ۲ برای دیالکتریک‌های مورد آزمایش می‌توان نتیجه گرفت که تفاوت ضریب اتلاف انرژی و نفوذپذیری الکتریکی نسبی ماده دیالکتریک یعنی  $\epsilon_{rtg}(\delta)$  سبب این اختلاف می‌شود. با توجه به اینکه مقدار  $(\delta)$  برای پلکسی‌گلاس مساوی  $2/0 \times 10^{-2}$  فاراد بر متر و برای تفلون مساوی  $4/2 \times 10^{-5}$  فاراد بر متر می‌باشد، این مقایسه نشان می‌دهد تفلون که ضریب اتلاف کمتری دارد میزان کمتری از توان ورودی را تلف می‌کند بنابراین مقدار توان بیشتری برای تبدیل به توان مکانیکی در دسترس محرک خواهد بود. محاسبات توان مکانیکی از روی پروفیل سرعت برای این دو ماده نیز همین نکته را تأیید می‌کند. با محاسبه

رفتار غیریکنواخت از خود نشان داده و بهوضوح یک بیشینه معین دارد که با رسیدن به این مقدار با افزایش بیشتر بسامد، سرعت کاهش یافته تا جایی که به صفر می‌رسد. این دقیقاً همان رفتاری است که در این آزمایش‌ها مشاهده شده است.

دو پدیده می‌تواند سهم مهمی در این مسئله داشته باشند. اول، وقتی بسامد زیاد می‌شود، شبیه ولتاژ اعمالی هم زیاد می‌شود که احتمالاً یونیزاسیون را افزایش می‌دهد. ثانیاً متوسط بار منتقل شده با بسامد افزایش یافته و برخوردهای بیشتری بین یونها و گازها صورت می‌گیرد. به ازای افزایش بسامد، سرعت جریان القایی به حد بیشینه می‌رسد که در موارد مورد بررسی در اینجا بسامد حدود  $7/5\text{ kHz}$  است. در زمان اشتغال تخلیه، سطح دیالکتریک باردار شده و بلافاصله تخلیه می‌شود. احتمال دارد سطح باردار برای بسامدهای بالاتر از یک حد آستانه، زمان لازم برای رها شدن کامل را نداشته باشد. و این احتمالاً همان علتی است که تخلیه مقداری ناپایداری و فیلامان‌های بزرگ پرانرژی در سطح دیالکتریک به ازای چنین بسامدهای بالایی ( $f < 9\text{ kHz}$ ) اتفاق می‌افتد [۹].

این مسئله در مرجع [۶] این‌طور توضیح داده شده است که با افزایش بسامد، تخلیه از بسامد بحرانی به دام اندازی یون، فراتر می‌رود و همین که تخلیه شروع می‌کند تا الکترون‌ها را نیز مانند یون‌ها به دام اندازد، تخلیه قطبیده شده و منجر به ناپایداری رشته‌های می‌شود. در مورد آزمایش‌های مربوط به بررسی اثر ماده دیالکتریک روی سرعت جریان القایی، به دو مورد پرداخته شده است: یکی به دست آوردن پروفایل‌های سرعت جریان القایی و دیگری بررسی اثر جنس ماده دیالکتریک روی حداکثر میزان سرعت جریان القایی.

برای دو ماده دیالکتریک مختلف پروفیل‌های سرعت به‌ازای مکان‌های مختلف X به دست آمده است. همان‌طور که از نمودارهای ۴ و ۵ مشاهده می‌شود حداکثر سرعت جریان القایی در ارتفاعهای  $X=10\text{ mm}$  و  $X=100\text{ mm}$  از Y=۰/۵ سطح رخ می‌دهد. مقایسه نتایج به دست آمده با کار انجام شده در [۱۰] نشان می‌دهد که حداکثر سرعت در Y=۰/۵ mm و  $X=10\text{ mm}$  مشابه نیز در مراجع [۱۱] و [۱۲] به دست آمده که در

- 2005.
- [2] Sosa, R., Artana, G., Moreau, E., Touchard, G., "Flow control with EHD actuators in middle post stall regime", J. of the Braz. Soc. of Mech. Sci. & Eng. No.2 Vol. XXVIII , 2006 ,pp. 200-207.
- [3] Thomas, C., Corke, Martiqua, L., Post, Dimitry, M., "SDBD plasma enhanced aerodynamics: concepts, optimization and applications", Progress in Aerospace Sciences, Vol. 43, Issue 7-8, 2007, pp. 193-217.
- [4] Roth, J.R., "Industrial plasma engineering. volume II application to non-thermal plasma processing" Institute of Physics Publishing, Bristol and Philadelphia, ISBN 0-7503-0545-2, 2001, Section 18.6.
- [5] لوکنس گراداریک، "پلاستیکها فرایندها و قالبها". مترجم جعفر و طنخواه دولت سرا، نشر علوم زمین، ۱۳۸۷
- [6] Roth, J., R., Dai, X., "Optimization of the aerodynamic plasma actuator as an EHD electrical device", AIAA Meeting, Reno, USA, 2006. pp. 2006-1203.
- [7] Manish, Yadav., Master of science thesis, The University of Tennessee, Knoxville, August 2005.
- [8] کمیته تهويه صنعتي انجمن بهداشت صنعتي آمريكا، "تهويه صنعتي" ، مترجم محمد جواد جعفری، انتشارات فدك ايساتيس، تهران، ۱۳۸۷، جلد ۱ ، فصل اول
- [9] Forte, M., Jolibois, J., Moreau, E., Touchard, G., "Electric wind induced by sliding discharge in air at atmospheric pressure", AIAA Meeting, San Francisco, USA, 2006, pp. 107-114.
- [10] Jerome, Jolibois, Maxime, Forte, Eric, Moreau, "Application of an AC barrier discharge actuator to control airflow separation above a NACA 0015 airfoil: Optimization of the actuation location along the chord", Journal of Electrostatics, vol. 66, 2008, pp. 496-503.
- [11] pons, J., Moreau, E., Touchard, G., "Asymmetric surface dielectric barrier discharge in air at atmospheric pressure: electrical properties and induced airflow characteristics", J. Phys. D. Appl. Phys. Vol. 38, 2005, pp. 3635.
- [12] Thomas, corke, C., Lon, Enloe, Stephen, P., Wikinson, "Dielectric Barrier Discharge Plasma Actuators for flow control", Annual Review of Fluid Mechanics, vol. 42, 2010, pp. 505-529.

تقریبی توان تلف شده توسط دیالکتریک‌ها از رابطه ۲ و با فرض  $A = 5 \times 10^{-4}$  ولت،  $U_{RMS} = 800$  مترمربع،  $\epsilon_0 = 8/85 \times 10^{-12}$  هرتز و  $S = 2 \times 10^{-3}$  متر،  $f = 8/3 \times 10^3$  وات،  $P = 0.15$  وات و برای تفلون  $P = 0.031$  میلیوات به دست می‌آید. با همین محاسبه مشخص می‌شود که تفلون مقدار توان کمتری را به صورت گرما تلف می‌کند.

#### نتیجه گیری

این مطالعه نشان داد که:

- با افزایش بسامد، سرعت جریان القایی افزایش می‌یابد و به بیشینه خود می‌رسد. با افزایش بیشتر بسامد سرعت جریان القایی کاهش می‌یابد.
- برای هر دو ماده دیالکتریک، مقدار سرعت در فاصله ۰/۵ میلیمتری از سطح دیالکتریک بیشترین مقدار خود را دارد.
- به ازای توان‌های ورودی برابر، حداکثر سرعت هوای القایی در دیالکتریک تفلون (PTFE) بیش از پلاکسی گلاس (PMMA) می‌باشد.
- در صورت استفاده از دیالکتریک‌هایی که ضریب اتلاف کمتری دارند به طور مؤثرتری می‌توان توان ورودی محرک را تبدیل به توان تولید جریان القایی کرد.

#### پی‌نوشت:

- ۱-Viscous
- ۲-Lift
- ۳-Stall
- ۴-Airfoil
- ۵-Nozzle
- ۶-Spray
- ۷-Blowing
- ۸-Steady
- ۹-Unsteady
- ۱۰-Electrohydrodynamics
- ۱۱-Radio Frequently
- ۱۲-Dielectric Barrier Discharge
- ۱۳-Yadav
- ۱۴-Mikromanometer Kofferprufsatz type

#### مراجع:

- [1] Jeffrey, M., Degree of master Thesis, "Air force institute of technology", Neawcamp Lieutenant USAF, September